

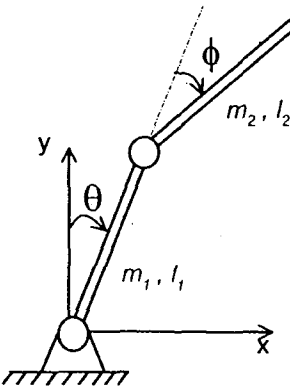
การออกแบบตัวควบคุมแบบป้อนกลับเชิงเส้นสำหรับระบบเพนดูลัมผกผันสองชั้น

Design of Linear Feedback Controllers for Motor Driven Inverse Double Pendulums

สุริยา ทองเชตุ, จากรุณี อุ่ลิสส์สวัสดิ์, เรืองฤทธิ์ เอกชัยวรสิน และ สุวัฒน์ กุลชนบวรดา^{*}
ศูนย์จัดและพัฒนาระบบอัจฉริยะ คณะวิศวกรรมศาสตร์
สถาบันเทคโนโลยีพระจอมเกล้าฯ พระนครเหนือ

บทคัดย่อ

งานนี้ออกแบบและสร้างระบบควบคุมแบบเชิงเส้นสำหรับสร้างเสถียรภาพให้ระบบเพนดูลัมผกผันสองชั้นที่ขับเคลื่อนด้วยมอเตอร์กระแสตรง ระบบควบคุมประกอบด้วยตัวควบคุมเชิงเส้นแบบป้อนกลับสถานะและตัวสังเกตการณ์แบบลดรูปสำหรับทั้งชั้น ตัวควบคุมเป็นแบบดิจิตอลโปรแกรมด้วยพิซซคอมพิวเตอร์และมีค่าความถี่สูงสำหรับการควบคุมเท่ากับ 1 kHz ในขณะที่ตัวสังเกตการณ์เป็นแบบอนาล็อกสร้างขึ้นจากอนาคตคอมพิวเตอร์ ผลการทดสอบทั้งด้วยการจำลองการทำงานในคอมพิวเตอร์และการควบคุมจริงให้ผลลัพธ์เป็นที่น่าพอใจ โดยการควบคุมระบบจริงมีพฤติกรรมการแกว่งเกิดขึ้นซึ่งคาดว่าเนื่องมาจากผลกระทบส่วนที่มีความไม่เป็นเส้นของระบบ เช่น แรงเสียดทาน เป็นต้น



รูปที่ 1 ระบบเพนดูลัมผกผันแบบสองชั้น

Abstracts

This work designs and implements a linear feedback control system to stabilize a DC-motor driven double inverted pendulum. The control system consists of a state feedback controller and a first-order observer. The controller is digital and programmed in a PC-computer with the control-sampling rate of 1 kHz while the observer is an analog observer implemented using an analog computer. The results of both the computer simulation and the real control system are satisfactory. The real control system presents some limit cycle behavior which is possibly caused by its nonlinear parts such as frictions.

1. บทนำ

ระบบเพนดูลัมผกผันสองชั้น (double inverted pendulum) เป็นระบบพลศาสตร์ที่น่าสนใจอย่างยิ่ง因为หนึ่ง ประกอบด้วยตัวเพนดูลัมผกผัน 2 ชั้นต่อ กันแบบอิสระในระหว่างการเคลื่อนที่เดียวกัน ดังแสดงในรูปที่ 1 ตำแหน่งที่เพนดูลัมทั้งสองดังต่อเรื่องในแนวตั้งคือ จุดสมดุลของระบบที่สนใจเป็นจุดสมดุลแบบที่ไม่เสถียร [1-2] เพราะเมื่อระบบถูกกระตุ้นให้เคลื่อนที่ออกจากจุดสมดุลเพียงเล็กน้อย ตัวเพนดูลัมทั้งสองจะไม่สามารถตั้งตัวกลับมาเข้าสภาวะสมดุลเองได้ ดังนั้นการเพิ่มระบบควบคุมให้กับเพนดูลัมจึงมีความจำเป็นอย่างยิ่งเพื่อเป็นการสร้างเสถียรภาพให้กับระบบ

การควบคุมแบบเชิงเส้น (Linear Control) โดยการป้อนกลับสถานะ (state feedback) เป็นการควบคุมที่ได้รับการสนใจอย่างกว้างขวางเนื่องจากความสามารถในการกำหนดพฤติกรรมของระบบควบคุมได้อย่างสะดวก[3-4] โดยทั่วไปขั้นตอนในการออกแบบระบบควบคุมประกอบด้วย 3 ขั้นตอนหลัก คือ การหาสมการการเคลื่อนที่ของระบบ การออกแบบตัวควบคุม และการทดสอบประสิทธิภาพ

การหาสมการการการเคลื่อนที่เป็นกระบวนการเปลี่ยนความสมพันธ์ของระบบในเชิงกายภาพไปเป็นความสัมพันธ์ในเชิงคณิตศาสตร์ ซึ่งโดยทั่วไปสมการการเคลื่อนที่ที่ได้จะอยู่ในรูปแบบของสมการอนุพันธ์ที่ไม่เป็นเชิงเส้น (Nonlinear Differential Equation) ดังนั้นสำหรับในการนี้จะต้องทำการประมาณการที่ได้เป็นสมการระบบเชิงเส้นก่อนเพื่อจะใช้ในการออกแบบระบบควบคุมแบบเชิงเส้นต่อไป

ระบบควบคุมในที่นี้จะประกอบไปด้วยตัวควบคุมแบบป้อนกลับสถานะและตัวสังเกตการณ์ลดรูปสำหรับทั้งชั้น หลังจากที่ระบบควบคุมได้รับการออกแบบแล้ว ระบบควบคุมจะถูกทดสอบประสิทธิภาพ ซึ่งในลำดับแรกจะทำการทดสอบโดยการจำลองการทำงานในคอมพิวเตอร์ (simulation) จากนั้นจึงทำการทดสอบกับระบบจริง

2. สมการการเคลื่อนที่

การหาสมการการการเคลื่อนที่ของระบบพลศาสตร์หนึ่ง สามารถกระทำได้หลายวิธีด้วยกัน เช่น วิธีการประยุกต์ใช้กฎข้อที่สองของ

Newton วิธีหลักการทรงโมเมนต์ตั้มและพลังงาน และวิธีเชิงพลังงานในรูปของสมการ LaGrange's เป็นดัน ในการเลือกว่าจะใช้วิธีการใดนั้นจะขึ้นอยู่กับลักษณะของงานเป็นหลัก สำหรับทฤษฎีนี้ได้ใช้วิธีเชิงพลังงานในรูปของสมการ LaGrange's [4-5] ในการคำนวณหาสมการการเคลื่อนที่ของระบบ เนื่องจากว่าเพนคลั้มแบบสองชั้นเป็นระบบที่ค่อนข้างซับซ้อนมากจะดังนี้

จากความสัมพันธ์ทางพลศาสตร์ระหว่างพลังงานจลน์ พลังงานศักย์ และ Generalized Force ใน Generalized Coordinate ในรูปสมการเชิงอนุพันธ์ สามารถเขียนเป็นสมการ LaGrange's ได้ดังนี้

$$\frac{d}{dt} \left(\frac{\partial T}{\partial \dot{q}_i} \right) - \frac{\partial T}{\partial q_i} + \frac{\partial V}{\partial q_i} = Q_i \quad (1)$$

โดยที่ T คือ พลังงานจลน์ของระบบ, V คือ พลังงานศักย์ของระบบ, q_i คือ Generalized Coordinate ที่ i ของระบบ, Q_i คือ Generalized Force ที่ i ของระบบ ซึ่งสำหรับระบบเพนคลั้มนี้ Generalized Coordinate เป็น θ และ ϕ ตามลำดับ (ครูปที่ 1) และมี Generalized Force ที่ 1 เป็น τ ซึ่งคือแรงบิดจากมอเตอร์ที่กระทำต่อแท่งเพนคลั้มชั้นล่าง และ Generalized Force ที่ 2 มีค่าเป็นศูนย์เนื่องเพนคลั้มหันสูงขึ้นต่อ กันแบบอิสระ

จากทฤษฎีทางพลศาสตร์ จะได้พลังงานจลน์และพลังงานศักย์รวมของระบบดังนี้

$$T = \frac{1}{6} m_1 l_1^2 \dot{\theta}^2 + \frac{1}{2} m_2 l_1^2 \dot{\theta}^2 + \frac{1}{6} m_2 l_2^2 (\dot{\phi} + \dot{\theta})^2 + \frac{1}{2} m_2 l_1 l_2 \dot{\theta} (\dot{\phi} + \dot{\theta}) \cos \phi$$

และ

$$V = \frac{1}{2} m_1 l_1 g \cos \theta + m_2 l_1 g \cos \theta + \frac{1}{2} m_2 l_2 g \cos(\phi + \theta)$$

และเมื่อนำพจน์ต่างๆ ห้ามตันแทนลงในสมการที่ (1) จะได้สมการการเคลื่อนที่ของเพนคลั้มเขียนในรูปสมการเมตริกดังนี้

$$\begin{bmatrix} I_{11}(\phi) & I_{12}(\phi) \\ I_{21}(\phi) & I_{22} \end{bmatrix} \begin{pmatrix} \ddot{\theta} \\ \ddot{\phi} \end{pmatrix} + \begin{pmatrix} G_1(\theta, \dot{\theta}, \phi, \dot{\phi}) \\ G_2(\theta, \dot{\theta}, \phi, \dot{\phi}) \end{pmatrix} = \begin{pmatrix} \tau \\ 0 \end{pmatrix} \quad (2)$$

โดยที่

$$I_{11}(\phi) = \frac{1}{3} m_1 l_1^2 + m_2 l_1^2 + \frac{1}{3} m_2 l_2^2 + m_2 l_1 l_2 \cos \phi$$

$$I_{12}(\phi) = I_{21}(\phi) = \frac{1}{3} m_2 l_2^2 + \frac{1}{3} m_2 l_1 l_2 \cos \phi$$

$$I_{22} = \frac{1}{3} m_2 l_2^2$$

$$G_1(\theta, \dot{\theta}, \phi, \dot{\phi}) = -\frac{1}{2} m_2 l_1 l_2 \dot{\phi} (2\dot{\theta} + \dot{\phi}) \sin \phi - \left(\frac{1}{2} m_1 l_1 + m_2 l_1 \right) g \sin \theta$$

$$-\frac{1}{2} m_2 l_2 g \sin(\theta + \phi)$$

$$G_2(\theta, \dot{\theta}, \phi, \dot{\phi}) = \frac{1}{2} m_2 l_1 l_2 \dot{\theta}^2 \sin \phi - \frac{1}{2} m_2 l_2 g \sin(\theta + \phi)$$

สำหรับสมการการเคลื่อนที่ของมอเตอร์กระแสตรงที่ใช้เป็นอุปกรณ์ขับเคลื่อนสำหรับควบคุม (actuator) สามารถเขียนได้เป็น [3]

$$J \ddot{\theta} + \frac{k_T k_b}{R} \dot{\theta} + \tau = \frac{k_T}{R} v_i \quad (3)$$

โดยที่ v_i คือค่าแรงดันไฟฟ้าอินพุต J คือค่าโมเมนต์ความเรื้อยรวมของมอเตอร์ R คือค่าความต้านทานของแกนคลาวด์มอเตอร์ และ k_T และ k_b คือค่าคงที่แรงบิดและค่าคงที่ back-emf ของมอเตอร์ตามลำดับ

แทนค่า τ จากสมการที่ (3) ลงในสมการที่ (2) จะได้สมการการเคลื่อนที่รวมของระบบเพนคลั้มดังนี้

$$\begin{bmatrix} I_{11} + J & I_{12} \\ I_{21} & I_{22} \end{bmatrix} \begin{pmatrix} \ddot{\theta} \\ \ddot{\phi} \end{pmatrix} + \begin{pmatrix} G_1 + \frac{k_T k_b}{R} \dot{\theta} \\ G_2 \end{pmatrix} = \begin{pmatrix} \frac{k_T}{R} v_i \\ 0 \end{pmatrix} \quad (4)$$

ซึ่งขัดเจนว่าเป็นสมการแบบไม่เป็นเชิงเส้น ดังนั้นจึงมีความจำเป็นต้องทำการประมาณเป็นระบบแบบเชิงเส้น โดยการประมาณรอบจุดสมดุลที่มีค่ามุนและค่าการเปลี่ยนแปลงของมุน θ และ ϕ มีค่าเป็นศูนย์ และสมมุติว่าค่าเหล่านี้มีการเปลี่ยนแปลงน้อยๆ จะได้

$$\begin{pmatrix} \dot{\theta} \\ \dot{\phi} \end{pmatrix} = \begin{bmatrix} 0 & 1 & 0 & 0 \\ \alpha_1 & \alpha_2 & \alpha_3 & 0 \\ 0 & 0 & 0 & 1 \\ \alpha_4 & \alpha_5 & \alpha_6 & 0 \end{bmatrix} \begin{pmatrix} \theta \\ \phi \end{pmatrix} + \begin{pmatrix} \dot{\theta} \\ \dot{\phi} \end{pmatrix} + \begin{pmatrix} \beta_1 \\ 0 \\ 0 \\ \beta_2 \end{pmatrix} v_i \quad (5a)$$

โดยที่ α และ β เป็นค่าคงที่ซึ่งได้จากการประมาณเชิงเส้น และเขียนในรูปแบบมาตรฐานเป็น

$$\dot{x} = Ax + Bu \quad (5b)$$

โดยที่ $x = (\theta, \dot{\theta}, \phi, \dot{\phi})^T$ เรียกว่าตัวแปรสถานะ (state variable) และ $u = v_i$ คืออินพุตที่ใช้ควบคุม (control command)

3. ระบบควบคุม

ระบบควบคุมประกอบด้วยตัวควบคุมแบบป้อนกลับสถานะและด้วยสังเกตการณ์ ตัวควบคุมเป็นตัวควบคุมแบบดิจิตอลด้วยค่าความถี่การสุ่มเท่ากับ 1 KHz และโปรแกรมไว้ในคอมพิวเตอร์พีซีโดยติดต่อสื่อสารกับระบบเพนคลั้มผ่านทาง data acquisition card ส่วนด้วยสังเกตการณ์เป็นตัวสังเกตการณ์ลำดับที่หนึ่งสร้างขึ้นจาก analog computer ทำหน้าที่ประมาณค่าตัวแปร ϕ ซึ่งในระบบไม่มีอุปกรณ์ที่ใช้ดัดค่าตัวแปรนี้

จากการแทนค่าตัวแปรต่างๆ ของระบบในตารางที่ 1 ในสมการระบบเชิงเส้นของระบบ (5) จะได้

$$A = \begin{bmatrix} 0 & 1 & 0 & 0 \\ 36.88 & -9.61 & -18.24 & 0 \\ 0 & 0 & 0 & 1 \\ -35.24 & 31.55 & 147.75 & 0 \end{bmatrix}$$

$$B = (0 \ 19.97 \ 0 \ -65.56)^T$$

ซึ่งจากการแปลงเป็นระบบเที่ยงเท่าสำหรับการควบคุมแบบดิจิตอล [4]

$$x(k+1) = A_D x(k) + B_D u(k)$$

จะได้

$$A_D = \begin{bmatrix} 1.00002 & 0.00100 & -0.00001 & 0.00000 \\ 0.03670 & 0.99045 & -0.01816 & 0.00001 \\ -0.00002 & 0.00002 & 1.00007 & 0.00100 \\ -0.03266 & 0.03139 & 0.14747 & 1.00007 \end{bmatrix}$$

$$B_D = (0.00001 \ 0.01987 \ -0.00003 \ -0.06525)^T$$

ตารางที่ 1 รายการแสดง Parameters ของระบบ

สัญลักษณ์	ค่า	หน่วย
m_1	0.157	kg
m_2	0.062	kg
l_1	25.50×10^{-2}	m
l_2	16.75×10^{-2}	m
J	3.766×10^{-3}	$\text{kg} \cdot \text{m}^2$
R	3.77	Ω
k_b	0.48128	$\text{volt} \cdot \text{s}/\text{rad}$
k_t	0.48000	$\text{N} \cdot \text{m}/\text{amp}$

โดยมีกฎการควบคุม (Control Law) แบบป้อนกลับสถานะดังนี้

$$u(k) = -Gx(k) = -[g_1 \ g_2 \ g_3 \ g_4] \begin{pmatrix} \theta(k) \\ \dot{\theta}(k) \\ \phi(k) \\ \dot{\phi}(k) \end{pmatrix}$$

ซึ่งในการออกแบบตัวควบคุมเพื่อหาค่า control gain G ทำได้หลายวิธี ซึ่งในที่นี้ใช้วิธี pole placement design [3-4] เป็นหลัก โดยการกำหนดค่า discrete poles ของระบบควบคุมดังนี้

$$(0.971 + 0.031i \ 0.971 - 0.031i \ 0.993 \ 0.996)$$

ซึ่งสอดคล้องกับค่า poles ใน s-domain

$$(-29 + 31i \ -29 - 31i \ -6.71 \ -4.43)$$

และได้

$$G = [-99 \ 20 \ 71 \ 7]$$

โดยเทคโนโลยีในการเลือก poles ในที่นี้ ได้เริ่มต้นจากการหา poles ด้วยวิธี LQR [3] โดยกำหนดค่า weight ของตัวแปรใน cost function เท่ากัน หมวด เนื่องจาก การสมมุติฐานให้ความสำคัญของทุกตัวแปรเท่ากัน จากนั้นจึงได้ทำการปรับแต่งค่า poles เพื่อให้ระบบมีพัฒนาระบบที่เหมาะสมมากขึ้น เช่น มีผลตอบสนองที่เร็วขึ้น เป็นต้น

ในส่วนของการออกแบบตัวสังเกตการณ์ เนื่องจากระบบมีอุปกรณ์ ที่ยังไม่สามารถเพียง 3 ตัว ขาดอุปกรณ์ที่ยังไม่สามารถคำนวณได้ จึงต้องมีตัวสังเกตการณ์ตัวที่สาม ในการที่จะเลือกใช้ตัวสังเกตการณ์่อนทางออกแบบลดรูปสัดส่วนที่หนึ่ง ซึ่งมีสมการดังนี้ [3]

$$\dot{z} = Fz + \bar{G}y + Hu$$

$$\dot{x} = Ly + z$$

โดยที่ \dot{x} คือค่าประมาณการของ $\dot{\theta}$, y คือเวกเตอร์ตัวแปร $(\theta, \dot{\theta}, \phi)^T$ ซึ่งวัดได้โดยตรง และ z คือตัวแปรร่วม

การออกแบบตัวสังเกตการณ์สามารถทำได้โดยการกำหนดค่า pole ของตัวสังเกตการณ์ ซึ่งควรเลือกให้อัตราสูตรเข้าของตัวสังเกตการณ์เข้าสู่สมดุลย์เร็วกว่าระบบ แต่หากกำหนดให้ตัวสังเกตการณ์ลู่เข้าสู่สมดุลย์เร็วเกินไป ก็จะทำให้เกิดปัญหาเนื่องจาก noise ได้ ในการนี้เลือกให้ค่า pole ของตัวสังเกตการณ์เท่ากับ -10 ($F = -10$) และจากการทดลองกับระบบจริงสำหรับในงานนี้พบว่าหากนำค่า H มาใช้ในตัวสังเกตการณ์จะทำให้เกิดปัญหานี้ไม่ได้ แต่หากนำค่า $H = 0$ และเมื่อนำไปคำนวณแล้วจะได้ค่าต่างๆ ดังนี้

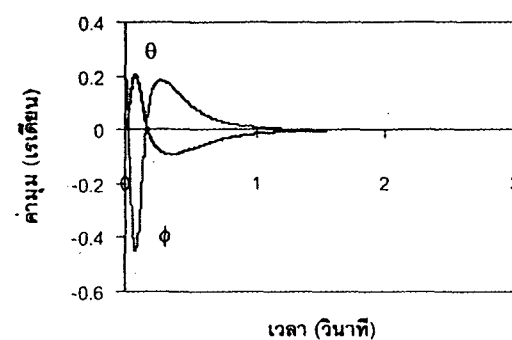
$$L = [0 \ -3.28 \ 10]$$

$$\bar{G} = [85.85 \ 32.84 \ -12.15]$$

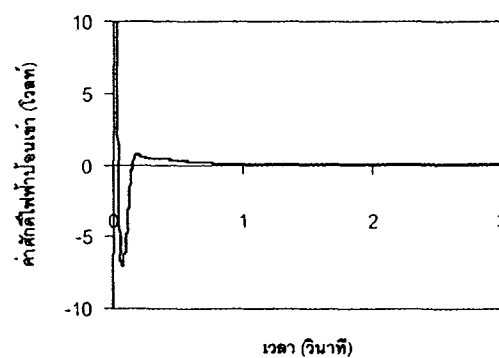
5. การทดสอบการทำงาน

การทดสอบการทำงานแม่ป่องออกเป็น 2 ขั้นตอนคือ การทดสอบการทำงานด้วยการจำลองในเครื่องคอมพิวเตอร์ และการทดสอบการทำงานด้วยระบบจริง การทดสอบด้วยคอมพิวเตอร์เป็นการทดสอบเบื้องต้นเพื่อคุณภาพดิจิทัลของระบบว่ามีความเหมาะสมเพียงใด ก่อนที่จะนำไปควบคุมระบบจริง ในที่นี้ใช้โปรแกรม INSIDE [7] ซึ่งเป็นโปรแกรมคำนวณสมการเชิงอนุพันธ์แบบไม่เป็นเชิงเส้นในการทดสอบ

การทดสอบการทำงานด้วยโปรแกรม INSIDE ได้เลือกวิธีการอินทิเกรตแบบ Adaptive Range-Kutta อันดับที่ 5-6 โดยกำหนด Δt ของการอินทิเกรตมากสุดและน้อยสุดเท่ากับ 0.0001 และ 0.00001 วินาที ตามลำดับ และค่าความถูกต้องเท่ากับ 0.0001 รูปที่ 2 และ 3 แสดงผลลัพธ์ของการจำลองการควบคุม



รูปที่ 2 กราฟแสดงค่า θ และ ϕ ในการทดสอบด้วยโปรแกรม INSIDE

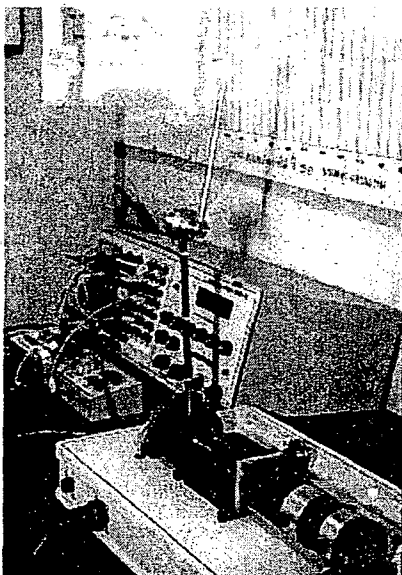


รูปที่ 3 กราฟแสดงค่า n ในการทดสอบด้วยโปรแกรม INSIDE

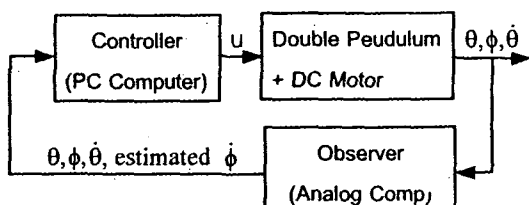
การทดสอบระบบควบคุมกับระบบจริง ได้ใช้เครื่องคอมพิวเตอร์พีซี Pentium-Pro 200 MHz, data acquisition card DAS1800HC, analog computer COMDYNA และชุดคอมพิวเตอร์ DVH-2000 ที่ประกอบกับชุดเพนคูลัมผกผันสองชั้นที่สร้างขึ้นเอง ดังแสดงในรูปที่ 4

การทดสอบทำได้โดยให้ระบบควบคุมเริ่มต้นอยู่ในตำแหน่งสมดุล จากนั้นทำการรบกวนระบบให้เสียสมดุลย์ แล้วสังเกตพฤติกรรมการเข้าสู่สภาวะสมดุลของระบบ ผลการทดสอบแสดงได้ดังรูปที่ 5 ซึ่งได้ผลลัพธ์ของกระบวนการควบคุมเป็นที่น่าพอใจถูกต้องกับการทดสอบโดยการจำลองในคอมพิวเตอร์ โดยเฉพาะความเสถียรภาพของระบบควบคุมและค่า settling time ซึ่งมีค่าประมาณ 1 วินาทีเมื่อนอกัน อย่างไรก็ตามในระบบ

จริงนี้ได้สังเกตว่ามีพหุจักรกรรมการแกกวง (limit cycle) เกิดขึ้นด้วย ซึ่งอาจเกิดได้จากหลายสาเหตุด้วยกัน เช่น แรงเสียดทาน ความไม่เป็นเรียงเส้นของระบบใน order สูงที่ไม่ได้จัดลงด้วยคณิตศาสตร์, สัญญาณ noise ในกระบวนการ, และความคลาดเคลื่อนของค่า parameter เอง เป็นต้น โดยเฉพาะสาเหตุแรกซึ่งถือว่าเป็นสาเหตุหลักของการเกิดการแกกวงที่เป็นที่ยอมรับกันโดยทั่วไป และจำเป็นต้องมีการวิจัยต่อไปเพื่อกำจัดปัญหานี้

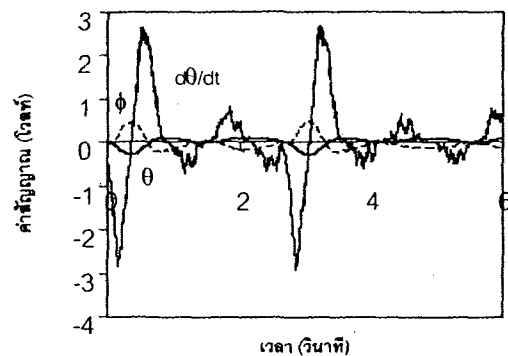


ก. ระบบควบคุมจริง



ข. แผนผังการควบคุม

รูปที่ 4 รูปแสดงการทดสอบระบบควบคุม



รูปที่ 5 กราฟแสดงค่า θ, ϕ และ $\dot{\theta}$ ในการทดสอบด้วยระบบจริง

6. สรุป

งานวิจัยนี้ได้การออกแบบและสร้างระบบควบคุมแบบเชิงเส้นเพื่อสร้างเสถียรภาพให้ระบบเป็นคูลัมพักผันสองชั้นที่ขึ้นเคียงล้อด้วยมอเตอร์กระเนตร ระบบควบคุมประกอบด้วยด้วยควบคุมป้อนกลับสถานะแบบติดต่อและด้วยสังเกตการณ์ nonlinear ลดรูปลำดับที่หนึ่ง ด้วยควบคุมโปรแกรมอยู่ในคอมพิวเตอร์ซึ่งโดยติดต่อสื่อสารกับระบบเป็นคูลัมผ่านทาง A/D interface card ส่วนด้วยสังเกตการณ์สร้างขึ้นโดยใช้ analog computer เป็นหลัก ผลการทดสอบการทำงานพบว่าระบบควบคุมสามารถสร้างเสถียรภาพให้ด้วยเพนคูลัมสองชั้นได้อย่างน่าพอใจ

กิตติกรรมประกาศ

งานวิจัยได้รับการสนับสนุนจากทุนวิจัยคณะกรรมการศาสตร์สถาบันเทคโนโลยีพระจอมเกล้าพระนครเหนือ

เอกสารอ้างอิง

- [1] Hassan K. Khalil, Nonlinear Systems, Macmillan Pub., 1992
- [2] J. E. Slotine and W. Li, Applied Nonlinear Control, Prentice-Hall Inc., 1991
- [3] B. Friedland, Control System Design, McGraw-Hill, 1986
- [4] Gene H. Hostetter, Digital Control System Design, HRW, 1988
- [5] T. R. Kane and D. A. Levinson, DYNAMICS : Theory and Applications, McGraw-Hill, 1985
- [6] Herbert Goldstein, Classical Mechanics, Addison Wesley, 1980
- [7] สุวัฒน์ ถุลธนบริศา, โปรแกรมแก้ปัญหาเชิงด้วยแบบจำลองสำหรับความเที่ยมขนาดเล็กแบบสามแกนในวงโคจร, รายงานการวิจัย, สถาบันเทคโนโลยีพระจอมเกล้าพระนครเหนือ, 2539